

Обработка результатов эксперимента

В экспериментах на стенде показания индикаторов скорости вращения и момента соответствуют значениям этих величин в нагрузочной машине постоянного тока. Однако, если скорости вращения АД и МПТ всегда одинаковы, т.к. их валы жёстко соединены друг с другом, то вращающий момент АД отличается от момента нагрузки. Это связано с тем, что на вал установки действуют также моменты сухого и вязкого трения, явственно проявляющиеся в механической характеристике, построенной по экспериментальным данным.

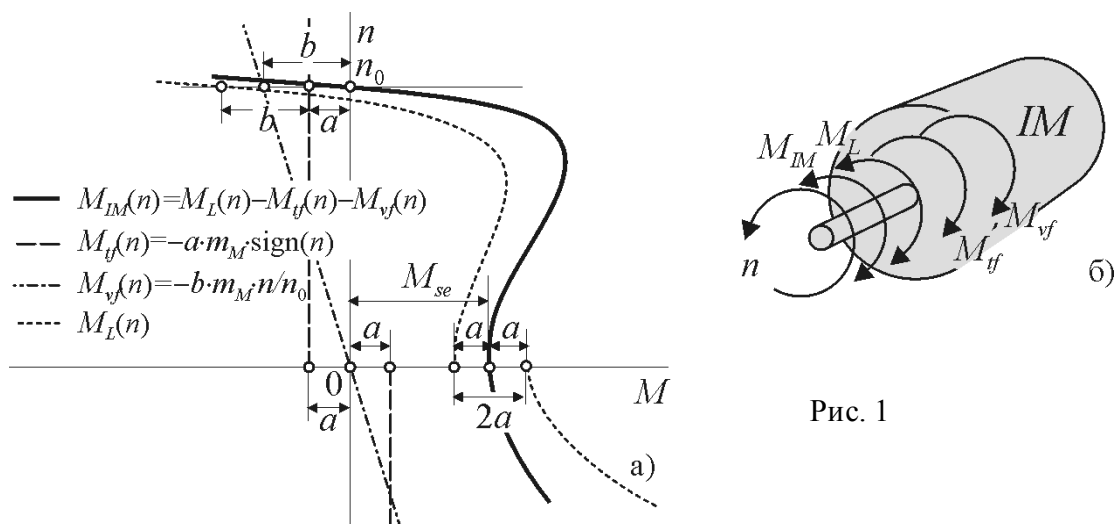


Рис. 1

Типичный вид такой характеристики $M_L = f(n)$ показан на рис. 1, а. Она имеет разрыв в режиме короткого замыкания и отрицательное значение момента при скорости идеального холостого хода $M_L(n_0) = -(a + b) \cdot m_M$. Это связано с тем, что вращающий момент на валу установки является суммой моментов асинхронного двигателя M_{IM} , нагрузочной машины M_L , момента сухого трения в опорах валов машин и в соединительной муфте M_{tf} , а также момента вязкого трения, связанного с трением о воздух и с внутренним «вязким трением» обеих машин.

Если моменты, направление действия которых совпадает с направлением вращения, принять за положительные, то моменты сухого и вязкого трения будут всегда отрицательными, а знаки моментов электрических машин будут определяться режимами их работы (рис. 1, б).

Момент сухого трения в первом приближении можно считать постоянным независимым от скорости вращения, а момент вязкого трения – линейно зависимым от скорости вращения (рис. 1, а). Тогда разрыв характеристики $M_L = f(n)$ в режиме короткого замыкания будет соответствовать двойному значению момента сухого трения $M_{tf} = -a \cdot m_M \cdot \text{sign}(n)$, где $a = [M_L(0_+) - M_L(0_-)] / (2m_M)$ – величина отрезка, соответствующего половине разрыва; m_M – масштаб оси вращающего момента на графике.

Абсолютное значение M_L в режиме идеального холостого хода превышает M_{tf} , а т.к. момент двигателя в этом режиме равен нулю, то разность

$M_L(n_0) - M_{\text{тф}}(n_0) = -b \cdot m_M$ равна моменту вязкого трения $M_{\text{вф}}(n_0)$. Это позволяет вычислить для функции $M_{\text{вф}}(n) = k_v \cdot n$ коэффициент вязкого трения $k_v = \frac{M_L(n_0) - [M_L(0_+) - M_L(0_-)]/2}{n_0}$.

Таким образом, экспериментальную механическую характеристику асинхронного двигателя $M_{\text{ИМ}}(n)$ можно получить суммированием характеристик

$$\begin{aligned} M_{\text{ИМ}}(n) &= M_L(n) - M_{\text{тф}}(n) - M_{\text{вф}}(n) = \\ &= M_L(n) + \frac{M_L(0_+) - M_L(0_-)}{2} \cdot \text{sign}(n) + \frac{[M_L(0_+) - M_L(0_-)]/2 - M_L(n_0)}{n_0} n \end{aligned}$$

После этого значения координат $M_{\text{ИМ}}(n)$ можно использовать для определения параметров схемы замещения АД и получения расчётных характеристик двигателя.

Определение параметров схемы замещения асинхронного двигателя по экспериментальным данным

Пользуясь экспериментальными характеристиками $M(n)$, $I_1(n)$, $P_1(n)$ можно определить параметры схемы замещения АД и сопоставить данные эксперимента с расчётными характеристиками.

Учитывая, что в режиме холостого хода ветвь ротора разомкнута, и схема замещения на рис. 2, б представляет собой последовательное соединение r_1 , $x_{1\sigma}$, r_m и x_m , суммарное активное $r_0 = r_1 + r_m$ и индуктивное $x_0 = x_{1\sigma} + x_m$ сопротивление можно определить следующим образом –

$$r_0 = \frac{P_1(n_0)}{[I_1(n_0)]^2};$$

$$x_0 = \frac{Q_1(n_0)}{[I_1(n_0)]^2} = \frac{U_1 I_1(n_0) \sin(\varphi_0)}{[I_1(n_0)]^2} = \frac{U_1 \sin(\varphi_0)}{I_1(n_0)} \quad (1)$$

где: $P_1(n_0)^*$ – активная мощность, потребляемая двигателем с числом пар полюсов магнитного поля z_p при синхронной скорости вращения $n_0 = 60 f_1 / z_p$; $I_1(n_0)$ – фазный ток статора при синхронной ско-

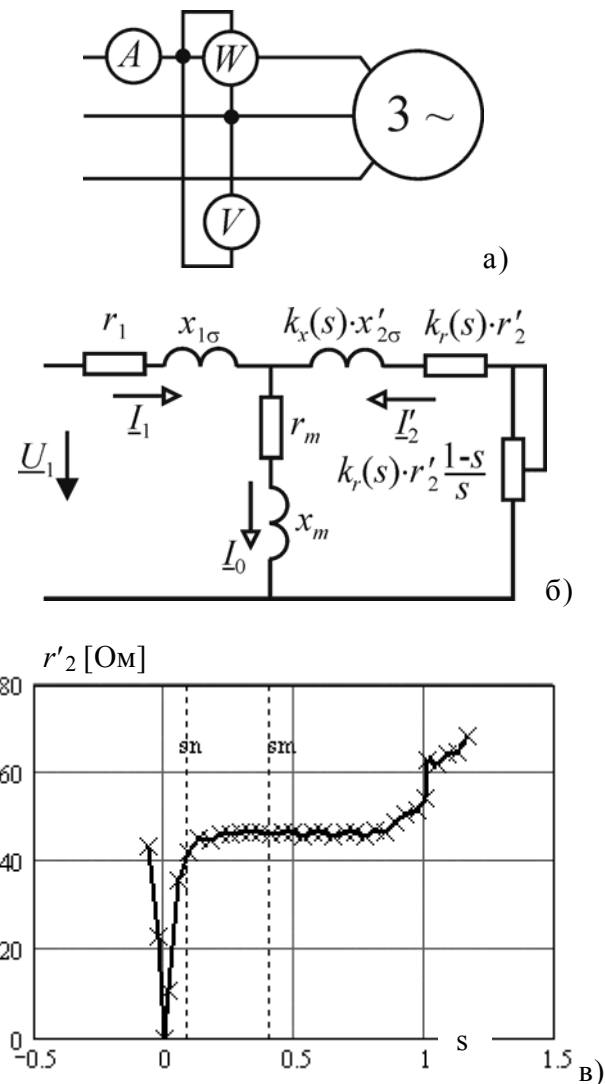


Рис. 2

* следует обратить внимание на то, что универсальный прибор на стенде измеряет фазную мощность, а в файл данных выводится суммарная потребляемая мощность, т.е. значение в три раза больше показаний прибора

рости; m_1 – число фаз; U_1 – действующее значение фазного напряжения;
 $\varphi_0 = \arccos \left[\frac{P_1(n_0)}{U_1 I_1(n_0)} \right]$.

Для определения индуктивных сопротивлений рассеяния обмоток статора и ротора нужно воспользоваться данными режима короткого замыкания. Полагая, что $x_m \gg x_{1\sigma} \approx x_{2\sigma}$, получим:

$$x_{1\sigma} \approx x'_{2\sigma} = \frac{x_k}{2} = \frac{1}{2} \frac{U_1 \sin(\varphi_k)}{I_1(0)}, \quad (2)$$

где $I_1(0)$ – ток статора при неподвижном роторе; $\varphi_k = \arccos \left[\frac{P_1(0)}{U_1 I_1(0)} \right]$

После этого можно найти индуктивное сопротивление ветви намагничивания

$$x_m = x_0 - x_{1\sigma} \quad (3)$$

и коэффициент приведения Т-образной схемы к Г-образной

$$c_1 = 1 + x_{1\sigma} / x_m. \quad (4)$$

На рис. 2, в показана зависимость значения сопротивления ротора от скольжения, рассчитанная через мощность скольжения –

$$P_s = M(s) \cdot \Omega_1 s = m_1 [I_2''(s)]^2 c_1^2 r_2' = m_1 [I_2'(s) / c_1]^2 c_1^2 r_2' \quad (5)$$

$$\Downarrow$$

$$r_2'(s) = \frac{M(s) \cdot 2\pi f_1 s}{m_1 [I_2'(s)]^2 z_p} \approx \frac{M(s) \cdot 2\pi f_1 s}{m_1 [I_1(s)]^2 z_p}$$

Из этого рисунка следует, что значение сопротивления ротора остаётся практически постоянным в большой области около точки опрокидывания. Вблизи пускового режима сопротивление растёт за счёт вытеснения тока, а при малых скольжениях его расчётное значение уменьшается в результате того, что мощность, рассеиваемая в роторе, становится соизмеримой с мощностью потерь в магнитопроводе. Поэтому следует принять, что

$$r_2' = r_2'(s_m)^*. \quad (6)$$

Теперь из выражения для критического скольжения можно найти активное сопротивление статора

$$s_m = \frac{r_2'}{\sqrt{r_1^2 + x_k^2}} = \frac{n_1 - n_m}{n_1} \Rightarrow r_1 = \sqrt{\left(\frac{r_2'}{s_m} \right)^2 - x_k^2}, \quad (7)$$

а затем – $r_m = r_0 - r_1$

Последним параметром необходимым для получения расчётных характеристик является значение глубины паза h в коэффициентах вытеснения

* следует заметить, что величина r_2' сильно зависит от значений момента и тока в точке опрокидывания, поэтому если расчётная механическая характеристика сильно отличается от экспериментальной, то следует уточнить эксперимент в области опрокидывания или проверить соседние точки, а затем и выбрать координаты, соответствующие линейной аппроксимацией между этими точками

$$k_r(s) = \xi \frac{\operatorname{sh} 2\xi + \sin 2\xi}{\operatorname{ch} 2\xi - \cos 2\xi}; \quad k_x(s) = \frac{3}{2\xi} \cdot \frac{\operatorname{sh} 2\xi - \sin 2\xi}{\operatorname{ch} 2\xi - \cos 2\xi}; \quad (8)$$

$$\xi \approx h|s|^\beta \Rightarrow \xi \approx h|_{s=1}; \quad \beta = 0,5 \dots 3,0$$

где s – скольжение; β – показатель функции зависимости глубины проникновения тока при вытеснении, обычно принимаемый равным 0,5. Однако его значение можно увеличивать для получения формы механической характеристики, соответствующей справочным или экспериментальным данным.

При пуске АД

$$\xi \approx h|_{s=1}; \quad k_r(1) = k_r(h) = h \frac{\operatorname{sh} 2h + \sin 2h}{\operatorname{ch} 2h - \cos 2h}; \quad k_x(1) = k_x(h) = \frac{3}{2h} \cdot \frac{\operatorname{sh} 2h - \sin 2h}{\operatorname{ch} 2h - \cos 2h}$$

и глубину паза h можно определить численным решением уравнения

$$\frac{z_p m_1 U_1^2 r_2 \cdot k_r(h)}{\omega_1 \left\{ [r_1 + r_2' k_r(h)]^2 + [x_{1\sigma} + x_{2\sigma}' k_x(h)]^2 \right\}} = M_{IM}(0) = M_{se} \quad (9)$$

где $M_{IM}(0)$ – экспериментальное значение пускового момента.

В среде *Mathcad* уравнение (9) можно решить с помощью функции определения корней $h = \text{root}[M_s(h) - M_{se}, h_0]$,

$$\text{где } M_s(h) = \frac{z_p m_1 U_1^2 r_2 \cdot k_r(h)}{\omega_1 \left\{ [r_1 + r_2' k_r(h)]^2 + [x_{1\sigma} + x_{2\sigma}' k_x(h)]^2 \right\}} - \text{зависимость пускового момента}$$

от глубины паза; M_{se} – экспериментальное значение пускового момента; h_0 – начальное значение для решения. Выбор начального значения h_0 имеет очень большое значение, т.к. функция $M_s(h)$ двузначная. Поэтому нужно предварительно построить график $M_s(h)$ и по нему **приблизительно** определить значение h , при котором $M_s(h) \approx M_{se}$ **на участке, где $\partial M_s / \partial h > 0$** .

В среде *Matlab* решение уравнения (9) можно получить с помощью функции $h = \text{fzero}[M_s(h) - M_{se}, h_0]$.

Более точное решение уравнения (9) может быть получено, если пусковой момент рассчитывать по выражению (16). Причём, в этом случае оно будет полностью совпадать со значением расчётной механической характеристики.

Расчёт характеристик асинхронного двигателя

Механическую, электромеханическую и рабочие характеристики АД можно рассчитать, пользуясь схемой замещения на рис. 2, б. Для этого нужно определить токи статора и ротора.

Входное сопротивление схемы замещения равно:

$$\underline{Z}_{in}(s) = \underline{Z}_1 + \frac{\underline{Z}_m \underline{Z}_2(s)}{\underline{Z}_m + \underline{Z}_2(s)} = r_1 + jx_{1\sigma} + \frac{(r_m + jx_m) [k_r(s) \cdot r_2' / s + jk_x(s) \cdot x_{2\sigma}']}{r_m + k_r(s) \cdot r_2' / s + j[x_m + k_x(s) \cdot x_{2\sigma}']} \quad (10)$$

Отсюда по закону Ома токи статора и ротора найдём в виде:

$$\underline{I}_1(s) = U_1 / \underline{Z}_{in}(s); \quad * \quad (11)$$

$$\underline{I}'_2(s) = \frac{\underline{I}_1(s) \cdot \underline{Z}_m}{\underline{Z}_m + \underline{Z}_2(s)} = \frac{\underline{I}_1(s) \cdot (r_m + jx_m)}{r_m + k_r(s) \cdot r'_2 / s + j[x_m + k_x(s) \cdot x'_{2\sigma}]} \quad (12)$$

Выражение (10) позволяет определить зависимость коэффициента мощности от скольжения

$$\cos[\varphi_1(s)] = \arctg \left[\frac{\text{Im} \underline{Z}_{in}(s)}{\text{Re} \underline{Z}_{in}(s)} \right]. \quad (13)$$

Модуль $|\underline{I}_1(s)|$ является уравнением электромеханической характеристики и позволяет получить зависимость потребляемой активной мощности от скольжения

$$P_1(s) = m_1 U_1 |\underline{I}_1(s)| \cos[\varphi_1(s)] \quad (14)$$

Пользуясь модулем $|\underline{I}'_2(s)|$ можно найти выражение для механической мощности и уравнение механической характеристики:

$$P_{mech}(s) = m_1 |\underline{I}'_2(s)|^2 k_r(s) \cdot r'_2 \frac{1-s}{s}; \quad (15)$$

$$M_{IM}(s) = \frac{P_{mech}(s)}{\Omega} = \frac{z_p P_{mech}(s)}{2\pi f_1 (1-s)}. \quad (16)$$

Выражения (14) и (15) позволяют определить КПД машины в режимах двигателя и генератора как

$$\eta_m(s) = \frac{P_{mech}(s)}{P_1(s)}; \quad \eta_g(s) = \frac{P_1(s)}{P_{mech}(s)}. \quad (17)$$

* Фазное напряжение U_1 здесь вещественное число, т.е. его начальная фаза принята нулевой.